

## AnT オペレーティングシステムにおける サーバプログラム間通信機構の評価

岡本 幸大<sup>†</sup> 谷口 秀夫<sup>††</sup>

†† 岡山大学大学院自然科学研究科

〒 700-8530 岡山県岡山市津島中三丁目一番一号

E-mail: †tokamoto@swlab.cs.okayama-u.ac.jp, ††tani@cs.okayama-u.co.jp

あらまし 組込みシステムでは、提供するサービスや利用できる資源は限られており、OSに必要な機能も限られる。そこで、システムに基づいて必要な機能のみを有するOSを利用することで、メモリをはじめとする資源を有効に活用できる。マイクロカーネル構造はOSの機能をシステムが提供するサービスに適応させることができ可能なプログラム構造である。しかしながら、マイクロカーネル構造はサーバ間の通信が頻発し性能が低下してしまう。そこで、我々は性能低下を抑えるための高速なプログラム間通信機構をAnTオペレーティングシステム上で設計した。AnTはマイクロカーネル構造を有する。ここでは、サーバプログラム間通信の基本処理評価を行い、そのオーバヘッドを明確にする。また、サービス評価として、本機構上にネットワーク通信機能を行うためのプロトコルスタック、およびNICドライバを実装し、そのスループットを測定する。

キーワード AnTオペレーティングシステム、マイクロカーネル、プロセス間通信

## Evaluation of Communication Mechanism between Server Programs for AnT Operating System

Kouta OKAMOTO<sup>†</sup> and Hideo TANIGUCHI<sup>††</sup>

†† Graduate School of Natural Science and Technology Okayama University

1-1, Tsubshima-Naka, 3-Chome, Okayama 700-8530 Japan

E-mail: †tokamoto@swlab.cs.okayama-u.ac.jp, ††tani@cs.okayama-u.co.jp

**Abstract** Embedded systems usually have limited memory resources. On the resource-constrained embedded systems, OS kernels should be flexibly configurable to fit any field. The microkernel architecture is suitable for the embedded systems because of a small footprint core and flexibly selective server programs. However, microkernel systems tend to have performance problems on inter-server communication. To solve the performance issue, we designed a high-performance inter-process communication framework and implemented that on the AnT microkernel. In this paper, we show a basic performance evaluation and a practical in-system throughput of our implementation.

**Key words** AnT operating system, microkernel, inter-process communication

### 1. まえがき

近年、計算機の高機能化に伴い、基盤ソフトウェアであるオペレーティングシステム(OS)の機能も高度化し複雑化している。これは、計算機が提供する多くのサービスに対応するために、OSもまた多くの機能を有することに起因する。一方、組み込みシステムを考えた場合、提供するサービスや利用できる資源は限られており、OSに必要な機能も限られる。そこで、システムが提供するサービスに合わせ、必要な機能のみを有する

OSを利用することにより、メモリをはじめとする資源を有効に活用できる。

OSの機能をシステムが提供するサービスに適応させるプログラム構造として、マイクロカーネル構造[1][2]がある。マイクロカーネル構造は、割り込み処理や例外処理といった最小限のOS処理をカーネル(マイクロカーネル)として実現し、ファイル管理処理や通信処理などの処理をプロセスとして実現するプログラム構造である。つまり、多くのOS機能は、カーネル外にプロセスとして実現する。以降、これをOSサーバと名付け

る。したがって、必要な機能の絞込みは、OS サーバを生成するか否かにより行うことができる。Mach [3], MINIX3 [4] [5] [6]、および L4-Linux [7] では、マイクロカーネル構造を採用し、OS の各種機能をプロセスとして実現している。

しかし、マイクロカーネル構造では、OS 機能を OS サーバとして実現するため、OS サーバ間の通信が頻発する。このため、Linux のようなモノリシック構造を有する OS に比べ、性能が低下してしまう。

そこで、我々は OS サーバ間のプログラム間通信を高速に行う機構 [8] を設計し、*Ant* オペレーティングシステム [9] (An operating system with adaptability and toughness) に実装した。ここでは、サーバプログラム間通信機構について、基本性能を明確にする。また、サービス評価として、ネットワーク通信を行うプロトコルスタックと NIC ドライバを介した通信スループットについて述べる。

## 2. サーバプログラム間通信機構

### 2.1 基本構造

サーバプログラム間通信は、サーバプロセス間の通信に特化したプロセス間通信機構である。マイクロカーネル OS では、OS 機能を利用する場合、その要求はプロセス間通信によりサーバプロセスへ渡される。この際、要求情報をサーバプロセスへ渡すためのデータ複写によりオーバヘッドが発生する。要求データ量が大きくなるほど、このオーバヘッドは大きくなる。また、OS 機能は複数の機能が連携して動作するため、利用の際にはサーバプロセスが多段に呼び出される。これらの問題を解決するために、サーバプログラム間通信機構は、コア間通信データ域 [10] (ICA : Inter-core Communication Area) を利用した複写レスによるデータ転送を実現している。また、処理の多段呼び出しと直接返却制御を実現し、処理の効率化を図っている。

プログラム間の呼び出し制御の基本機構を図 1 に示す。内コアは、各 OS サーバに依頼キューと結果キューを用意している。呼び出しは、制御用 ICA とデータ用 ICA を授受（仮想空間上の剥がしと貼り付け）することで行う。基本的な呼び出しの処理を以下に説明する。

- (1) 依頼元プロセスは依頼先プロセスの依頼キューに依頼を登録する。
- (2) 依頼先プロセスは登録された情報を取得し処理を実行する。
- (3) 依頼先プロセスは依頼元プロセスの結果キューに結果を登録して返却する。

制御用 ICA は、手続きの内容に関する情報を格納しており、依頼元や依頼先に関する情報を持つ。また、データ用 ICA へのポインタ情報を持つ。これにより、OS サーバ間でのデータの持ち回りを複写レスで行うことができる。

### 2.2 多段呼び出し

OS サーバの連携を効率化するため、OS サーバの間を次から次に呼び出してゆく多段呼び出しを効率的に実現する必要がある。呼び出す度に新たな制御用 ICA を確保する方法は、処理

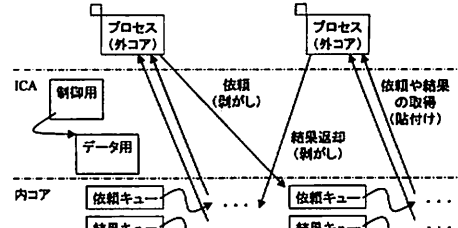


図 1 プログラム間通信の基本機構

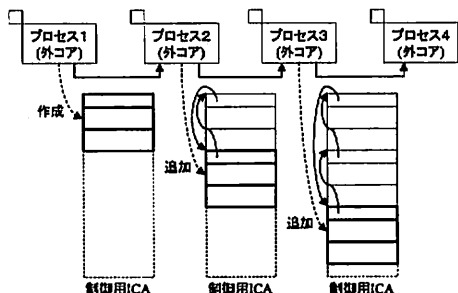


図 2 制御データスタック

オーバヘッドが大きくなるため、ひとつの制御用 ICA に多段呼び出しに関する情報を積み重ねる。この様子を図 2 に示す。OS サーバの間を次から次に呼び出すに伴い、手続きの内容に関する情報を同じ制御用 ICA に積み重ねる。これに伴い、受け取った OS サーバが依頼された情報を把握できるように、制御用 ICA の先頭に最新の情報格納域へのポインタ (currentp) を持つ。制御用 ICA の先頭がない currentp は一つ前の呼び出し情報格納域へのポインタを持つ。このように、currentp により、積み重ねられた情報をたどれるようとする。

### 2.3 直接返却

多段呼び出し時の結果返却を高速化するための直接返却について述べる。多段呼び出しされた処理は、必ずしも逐次返却が必要ではない。たとえば、AP プロセスから要求されたデータ入力は、ファイル管理、バッファキャッシュ制御、DK ドライバの 3 つの OS サーバを介して処理が進められる。しかし、入力データの結果返却は、DK ドライバから直接に AP プロセスに返却できる場合がある。これを可能にするため、制御用 ICA に flag を設け、返却の要否を設定できることとした。currentp と flag を利用して、直接返却が可能である。

### 2.4 インタフェース

サーバプログラム間通信に関連するインターフェースの機能と形式を表 1 に示し、以降で説明する。

`registserver()` は、サーバ間通信の際に必要な情報をサーバプロセス自身がカーネル内に登録する操作である。これにより、コア ID とサーバプロセスのプロセス ID が対応付けられてカーネルへ登録される。他プロセスはサーバのコア ID を利用することでサーバプロセスへの処理依頼が可能となる。

`callsync()` は、サーバプロセスに対し同期的に処理依頼を発行する操作である。依頼元プロセスは制御情報および依頼情報を

表 1 インタフェース形式の機能と形式

機能	インターフェース
サーバ登録	registserver(coreid); coreid; 登録するサーバのコア ID
同期処理依頼	callsync(p); p; 依頼情報を格納した制御用 ICA のアドレス
非同期処理依頼	callasync(p); p; 依頼情報を格納した制御用 ICA のアドレス
結果返却	ret(p); p; 返却情報を格納した制御用 ICA のアドレス
要求取得 & 結果返却	get(p); p; 返却情報を格納した制御用 ICA のアドレス または NULL

制御用 ICA に格納し、格納した制御用 ICA を引数に callsync() システムコールを発行する。これにより、サーバプロセスの依頼キューへ依頼が登録される。依頼元プロセスはサーバプロセスの処理が終了するまで待ち状態へ移行する。

callasync() は、サーバプロセスに対し非同期的に処理依頼を発行する操作である。処理は callsync() と同様であるが、依頼元プロセスへはサーバプロセスの処理終了を待たずに制御が戻る。

ret() は、結果返却を行なう操作である。サーバプロセスは依頼された処理を終了すると、結果情報を格納した制御用 ICA を引数に指定し、ret() を発行する。これにより、依頼元プロセスへ結果が返却される。

get() は結果返却、および依頼または結果を取得する操作である。サーバプロセスは引数に NULL を指定して get() システムコールを発行することで、依頼または結果を取得する。依頼または結果が登録されていない場合、登録されるまで待ち状態へ移行する。引数に返却情報を格納した制御用 ICA を指定した場合、結果返却を行なった後、依頼または結果の取得を行なう。

なお、ret() は複数の要求を保持するサーバで使われ、通常のサーバでは get() を使用する。

### 3. 基本性能

#### 3.1 項目と環境

サーバプログラム間通信制御の基本的な処理として、同期処理依頼とその返却、および非同期処理依頼とその返却がある。また、それぞれの処理においてデータ用 ICA の授受を行なう場合と行わない場合が存在する。これらについて性能を明らかにする。

具体的には、Ant オペレーティングシステムを Pentium4(2.8GHz) プロセッサの計算機上で走行させ、各処理時間を測定した。測定には、図 3 に示すように、2 つのプロセス間での通信処理を用いた。なお、測定には RDTSC 命令を使用し、測定結果は 10 回試行した場合の平均処理時間である。

#### 3.2 同期処理依頼

同期処理依頼における処理依頼と結果返却の処理時間を評価する。同期処理依頼では、制御用 ICA は依頼元プロセスへ貼り付けたままでし、依頼取得時にサーバプロセスへ貼り付ける。

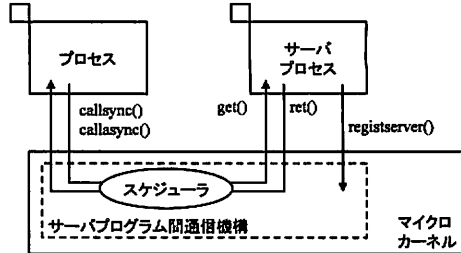


図 3 測定環境

これにより制御用 ICA 貼り替えのオーバヘッドを削減し、効率化を図っている。また、依頼元プロセスは制御用 ICA を保持したまま返却待ち状態となっているため、結果返却時にはサーバプロセスから制御用 ICA を剥がした後、待ち状態の依頼元プロセスを起こすだけでよい。これにより結果キューへの結果登録、および結果キューからの結果取得によるオーバヘッドを削減している。

同期処理依頼と結果返却の処理流れを図 4 と図 5 に示す。同期処理依頼として、図 4 における a1-a2 間の処理時間を測定した。具体的には、依頼元プロセスが callsync() を発行してから、サーバプロセスが get() により処理依頼を取得するまでの処理時間を測定した。サーバプロセスはあらかじめ get() を発行し処理取得待ち状態となっており、その後依頼元プロセスが callsync() を発行するものとする。また、同期処理依頼における結果返却として、図 5 における b1-b2 間の処理時間を測定した。具体的には、サーバプロセスが同期的に依頼された処理を終了した後、結果を依頼元へ返却するために get() を発行してから依頼元に結果が返るまでである。依頼元プロセスは callsync() を発行した場合、サーバ処理の終了待ち状態となっている。このため、結果返却は待ち状態の依頼元プロセスを起こすことによって実現される。

測定結果を表 2 に示す。表 2 より、以下のことが分かる。

(1) 処理依頼 (データ用 ICA なし) における処理時間は 15.47 μ秒、結果返却 (データ用 ICA なし) における処理時間は 11.96 μ秒である。また、データ用 ICA の有無による差分から、データ用 ICA の授受にかかるオーバヘッドは約 0.7~0.8 μ秒である。データ用 ICA の授受オーバヘッドは、各処理時間の 4~6% であり、ICA によるデータ転送は効率的であると言える。

また、各処理の分析により、キュー操作前後の割り込みマスク処理 1 回につき約 1.57 μ秒のオーバヘッドが発生しており、割り込みマスク処理は処理依頼で 8 回、結果返却で 6 回呼ばれていた。このことから、以下のことが分かる。

(2) 割込みマスク処理により、処理依頼では  $8 \times 1.57 = 12.56$  μ秒、結果返却では  $6 \times 1.57 = 9.42$  μ秒のオーバヘッドが発生している。割込みマスク処理のオーバヘッドは各処理時間の約 80% であり、割込みマスク処理が与える影響が大きいことがわかる。割込みマスク処理では割込みコントローラに対して I/O 処理を行っており、これがオーバヘッドの要因であると推察する。

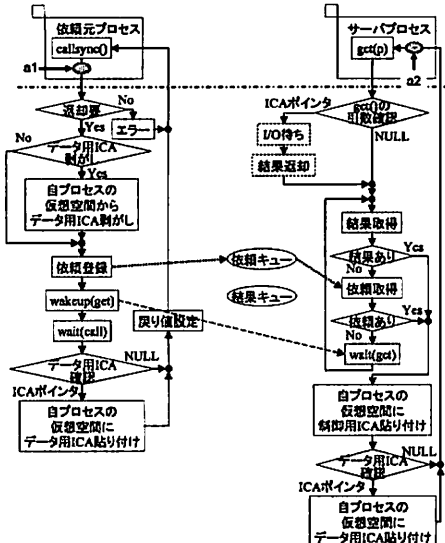


図 4 同期処理依頼の処理流れ

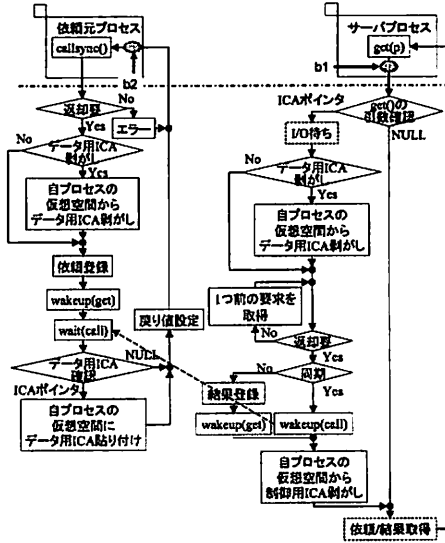


図 5 同期処理依頼における結果返却の処理流れ

表 2 同期処理依頼の処理時間 (単位: μ秒)

	データ用 ICA なし	データ用 ICA あり	差分
処理依頼	15.47	16.16	0.69
結果返却	11.96	12.77	0.81

### 3.3 非同期処理依頼

非同期処理依頼における処理依頼と結果返却の処理時間を評価する。非同期処理依頼では、制御用 ICA は依頼元プロセスから剥がし、依頼取得時にサーバプロセスのへ貼り付ける。これは依頼元プロセスによる制御用 ICA 替き換えによるエラーを防止するためである。また、依頼元プロセスは制御用 ICA を保持していないため、結果返却時にはサーバプロセスから制御用 ICA を剥がし依頼元プロセスの結果キューへ登録する必

表 3 非同期処理依頼における測定結果 (単位: μ秒)

	データ用 ICA なし	データ用 ICA あり	差分
処理依頼	19.7	20.4	0.7
結果返却	18.89	19.73	0.84

要がある。さらに、依頼元プロセスは、get() を発行し返却された結果を結果キューから取得しなければならない。このため、同期処理依頼よりも非同期処理依頼は処理時間が増大すると予想できる。

非同期処理依頼と結果返却の処理流れを図 6 と図 7 に示す。非同期処理依頼として、図 6 における a1'-a2' 間の処理時間を測定した。具体的には、依頼元プロセスが callasynch() を発行してから、サーバプロセスが get() により処理依頼を取得するまでである。同期処理依頼と同様に、サーバプロセスはあらかじめ get() を発行し処理取得待ち状態となっており、その後依頼元プロセスが callasynch() を発行するものとする。また、非同期処理依頼における結果返却として、図 7 における b1'-b2' 間の処理時間を測定した。具体的には、サーバプロセスが非同期的に依頼された処理を終了し、結果を依頼元へ返却するために get() を発行してから依頼元に結果が返るまでである。依頼元プロセスは非同期処理依頼を発行した場合、サーバ処理の終了を待たずに元の処理へ復帰する。このため、結果返却は依頼元プロセスが get() を発行し結果を取得することで実現される。

測定結果を表 3 に示す。表 3 より、以下のことが分かる。

- (1) 処理依頼 (データ用 ICA なし) における処理時間は 19.7 μ秒、結果返却 (データ用 ICA なし) における処理時間は 18.89 μ秒である。また、データ用 ICA の有無による差分から、データ用 ICA の授受にかかるオーバヘッドは約 0.7~0.8 μ秒である。データ用 ICA の授受オーバヘッドは、各処理時間の 3~4% であり、ICA によるデータ転送は効率的であると言える。

また、同期処理依頼と同様に、割り込みマスク処理オーバヘッドを調査したところ、割り込みマスク処理は処理依頼と結果返却で各 10 回呼ばれていた。このことから、以下のことが分かる。

- (2) 割り込みマスク処理により、処理依頼と結果返却で  $10 \times 1.57 \mu\text{秒} = 15.7 \mu\text{秒}$  のオーバヘッドが各々発生している。割り込みマスク処理のオーバヘッドは各処理時間の約 80% であり、同期処理依頼と同様に割り込みマスク処理が与える影響が大きいことがわかる。

### 3.4 考 察

同期処理依頼と非同期処理依頼の処理時間を比較した場合、処理依頼と結果返却とともに非同期処理依頼の方が処理オーバヘッドが大きく、各処理時間の差分は処理依頼で 4.23 μ秒、結果返却で 6.93 μ秒であった。処理依頼と結果返却の差分に差が見られる理由として、割り込みマスク処理の呼び出し回数の違いが考えられる。割り込みマスク処理の呼び出し回数の差は、処理依頼では 2 回であるのに対し、結果返却では 4 回である。そのため、割り込みマスク処理 2 回分の差が生じたといえる。

また、割り込みマスク処理を除いた場合の処理時間の差分は

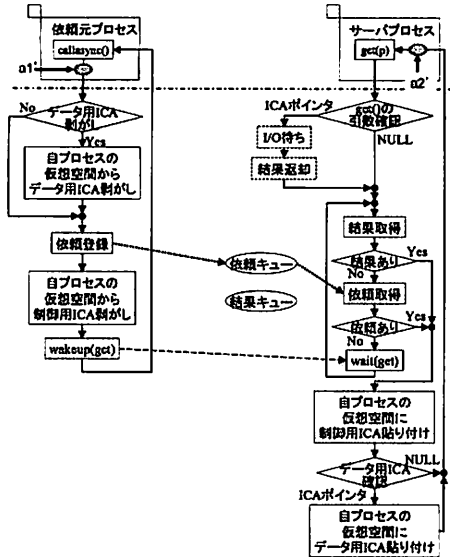


図 6 非同期処理依頼の処理流れ

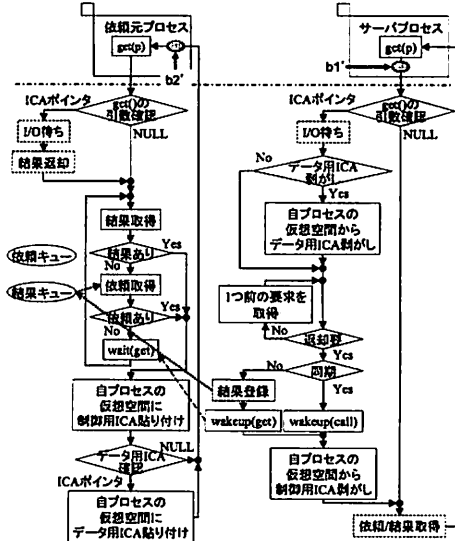


図 7 非同期処理依頼における結果返却の処理流れ

処理依頼で  $1.15 \mu\text{秒}$ 、結果返却で  $0.65 \mu\text{秒}$ であった。割り込みマスク処理を除いた場合の処理時間の差分は、3.2 節で述べた同期処理依頼における制御用 ICA の貼り替えと結果返却の効率化によるものであると推察する。

#### 4. サービス評価

##### 4.1 項目と環境

サーバプログラム間通信機構のサービス評価として、イーサネットプロトコルサーバと NIC ドライバサーバを介した通信スループットを測定する。具体的には、クライアントサーバシステムを構築し、*AnT* クライアントと Linux クライアントでイーサネットレベル通信を行い、送信フレームのデータ長ごとのスループットを測定する。測定では、まずクライアントマ

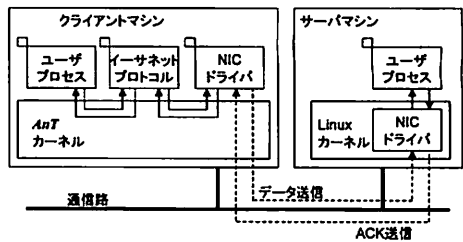


図 8 *AnT* クライアントにおける測定環境

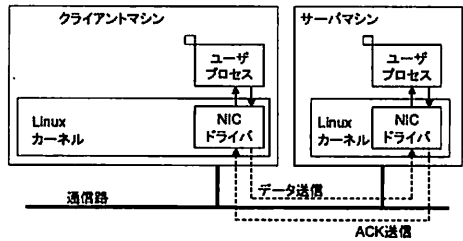


図 9 Linux クライアントにおける測定環境

シングがサーバマシンに対してデータを送信し ACK の返信を待つ。サーバマシンはデータを受け取ると ACK として 1 バイトのデータをクライアントへ送信する。クライアントが ACK を受け取った時点で 1 回の送信を完了とする。このデータ送受信を連続で 10000 回繰り返しそのスループットを測定した。なお、クライアントとして Pentium4(R) 2.8GHz プロセッサと RealTek8139 PCI Ethernet Card を搭載した計算機を、サーバとして Pentium(R) Dualcore プロセッサと Intel(R) PRO/100 Network Card を搭載した計算機を利用し、サーバと Linux クライアントには Vine Linux4.2(kernel2.6.16) を利用した。また、測定には RDTSC 命令を利用した。

##### 4.2 通信スループット

4.1 節で示した 2 つのクライアントにおけるそれぞれの測定方法を以下で説明する。

図 8 に示すように、*AnT* クライアントによる測定では、ユーザプロセス、イーサネットプロトコルサーバと NIC ドライバサーバの 3 つのプロセスを走行させて測定を行う。データの送信を行う場合、まずユーザプロセスがイーサネットプロトコルサーバに依頼を発行し、送信データに対しイーサネットヘッダを加える。次に、イーサネットプロトコルサーバは NIC ドライバサーバに対し依頼を発行し、データの送信を行う。データの受信を行う場合、パケットを受け取った NIC ドライバサーバはイーサネットサーバへ依頼を発行し、受信データからイーサネットヘッダを取り除く。次に、イーサネットサーバはユーザプロセスから受信依頼が発行された際にデータを渡す。パケットの受信より先にユーザプロセスから受信依頼が発行された場合、パケット受信まで依頼を保持し、パケットを受信した際に返すものとする。

また、図 9 に示すように、Linux クライアントによる測定では、*AnT* クライアントと通信レベルを同等にするために、packet ソケットを利用し、カーネル内のプロトコルスタック処

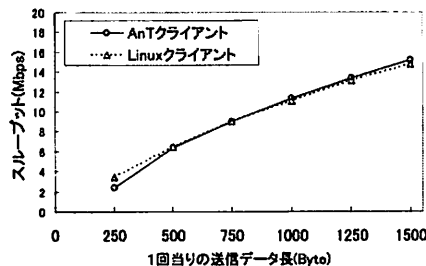


図 10 スループット測定結果

理を通さない低レベル通信を行う。packet ソケットは TCP/IP 等のプロトコルスタックを通さず、直接 NIC ドライバへ通信データを渡すことを可能とする。このため、本測定においてイーサネットヘッダの着脱はユーザプロセスが行う。

測定結果を図 10 に示す。測定結果より、以下のことが分かる。

- (1) *AnT* クライアントにおいて Linux クライアントとほぼ同等の性能が得られていることが確認できる。これより、*AnT* はマイクロカーネル構造を持つため OS 機能をサーバプロセスとして実装しているにもかかわらず、モノリシック構造を持つ Linux と同様な性能を持つことがいえる。
- (2) 送信フレームのデータ長が 750 バイト以下では Linux の方がスループットが高く、750 バイト以上では *AnT* の方がスループットが高い。これは、ICA を利用した複写レスによるデータ転送の影響であると推察する。ICA では、転送データ長が大きい場合、データコピーより ICA 貼り替えの方が高速であるが、転送データ長が小さい場合、ICA 貼り替えよりもデータコピーの方が高速となる性質がある。

## 5. まとめ

マイクロカーネル OS である *AnT* オペレーティングシステムにおいて、サーバプロセス間での通信を高速に行うためのサーバプログラム間通信機構を評価した。

基本性能の評価から、同期処理では処理依頼に  $15.47 \mu\text{秒}$ 、結果返却に  $11.96 \mu\text{秒}$ 、非同期処理では処理依頼に  $19.7 \mu\text{秒}$ 、結果返却に  $18.89 \mu\text{秒}$  を要することを明らかにした。また、データ転送にかかる処理時間は、同期処理依頼の場合 4~5%、非同期処理依頼の場合 3~4% であり、ICA によるデータ授受は効率的であることを示した。一方、通信処理の約 80% を割込みマスク処理に要しており、割込みマスク処理効率化の必要性を明確にした。

サービス評価として、ネットワーク通信によるスループットを評価した。評価により、*AnT* はマイクロカーネル構造を持つため OS 機能をサーバプロセスとして実装しているにもかかわらず、モノリシック構造を持つ Linux と同様な性能を持つことを示した。これにより、*AnT* のサーバプログラム間通信機構は効率的であるといえる。また、送信フレームのデータ長 750 バイト前後における *AnT* と Linux の性能逆転は、ICA を利用した複写レスによるデータ転送の影響であると推察する。

残された課題として、割込みマスク処理の効率化と直接返却機能の有効性の評価がある。

謝辞 本研究の一部は、科学研究費補助金基盤研究(B)「適応性と頑健性を有する基盤ソフトウェアのカーネル開発」(課題番号: 18300010) による。

## 文献

- [1] J.Liedtke, 谷口秀夫訳、「真のマイクロカーネルへ向けて」、共立出版, bit, Vol.29, No.8, pp.63-73, 1997.
- [2] Andrew S. Tanenbaum, Jorrit N. Herder, Herbert Bos, "Can we make operating systems reliable and secure?", "IEEE Computer Magazine", Vol.39, No.5, pp.44-51, 2006.
- [3] Black, D.L., Golub, D.B., Julin, D.P., Rashid, R.F., Draves, R.P., Dean, R.W., Forin, A., Barrera, J., Tokuda, H., Malan, G., and Bohman, D., "Microkernel Operating System Architecture and Mach," Journal of Information Processing, Vol.14, No.4(19920315), pp.442-453, 1992.
- [4] Andrew S. Tanenbaum, Albert S. Woodhull, "Operating Systems Design And Implementation Third Edition," Prentice Hall, ISBN 0-13-142938-8, 2006.
- [5] Andrew S. Tanenbaum, Jorrit N. Herder, Herbert Bos, Ben Gras, Philip Homburg, "Modular System Programming in MINIX 3," The USENIX Magazine, Vol.31, No.2, pp.19-28, 2006.
- [6] Andrew S. Tanenbaum, Jorrit N. Herder, Herbert Bos, Ben Gras, Philip Homburg, "Roadmap to a Failure-Resilient Operating System," The USENIX Magazine, Vol.32, No.1, pp.14-20, 2007.
- [7] H. Hartig et al., "The Performance of Microkernel-Based Systems," Proc. 16th ACM Symp. Operating System Principles, ACM Press, pp.66-77, 1997.
- [8] 岡本幸大, 谷口秀夫, "AnT におけるサーバ間の高速なプログラム間通信機構," マルチメディアと分散処理ワークショッピング文集, pp.61-66, 2007.
- [9] 谷口秀夫, 乃村能成, 田嶋利宏, 安達俊光, 野村裕佑, 梅本昌典, 仁科匡人, "適応性と堅牢性をあわせ持つ AnT オペレーティングシステム," 情報処理学会研究報告, 2006-OS-103, Vol.2006, No.86, pp.71-78, 2006.
- [10] 梅本昌典, 田嶋利宏, 乃村能成, 谷口秀夫, "AnT における高速なプロセス間通信の実現," 第 5 回情報科学技術フォーラム講演論文集, pp.135-136, 2006.